02Da03

核融合原型炉超臨界CO2二次冷却系におけるトリチウム挙動 Tritium behavior in supercritical CO2 secondary cooling system for fusion DEMO reactors

*片山一成 ¹, 久保海斗 ¹, 高橋勇斗 ¹, 大宅諒 ¹, 芦川直子 ^{2,3}, 田中照也 ², 相良明男 ², 石山新太郎 ⁴, 近田拓未 ⁵, 中村博文 ⁶, 八木重郎 ⁷, 田口 明 ⁸, 鳥養祐二 ⁹, 江原真司 ¹⁰
*KATAYAMA Kazunari ¹, KUBO Kaito ¹, TAKAHASHI Yuto ¹, OYA Makoto ¹, ASHIKAWA Naoko ^{2,3}, TANAKA Teruya ², SAGARA Akio ², ISHIYAMA Shintaro ⁴, CHIKADA Takumi ⁵, NAKAMURA Hirofumi ⁶, YAGI Juro ⁷, TAGUCHI Akira ⁸, TORIKAI Yuji ⁹, EBARA Shinji ¹⁰
¹九大, ²核融合研, ³総研大, ⁴弘前大, ⁵静大, ⁶量研機構, ⁷京大,

8富山大,9茨城大,10東北大

¹Kyushu Univ., ²NIFS, ³SOKENDAI, ⁴Hirosaki Univ., ⁵Shizuoka Univ., ⁶QST, ⁷Kyoto Univ., ⁸Univ. of Toyama, ⁹Ibaraki Univ., ¹⁰Tohoku Univ.

1. 緒言

核融合炉の安全上もっとも重要となるのが、 トリチウムを環境に放出することなく、施設内 に安全に閉じ込める技術の確立である。そのた めには、核融合炉施設各所におけるトリチウム の挙動を把握する必要がある。ヘリカル型核融 合原型炉 FFHR-d1 設計では、溶融塩 Flinabe ブ ランケットと超臨界 CO₂二次冷却系による、水 を用いない発電システムが採用されている[1,2]。 超臨界 CO ガスタービンシステムは、コンパク トで高い発電効率の発電システムとして開発 されているが、核融合炉への適用にあたっては、 システム内でのトリチウム存在化学形や金属 材料への溶解・透過挙動の理解が不可欠である。 そのため、超臨界 CO₂ の化学的特性を把握し、 酸化膜の成長や浸炭現象など複雑な物質移動 が生じる CO2-金属界面でのトリチウム挙動の 解明が求められている。本研究では、トリチウ ム使用が可能な超臨界CO2試験装置を九州大学 に整備し、高温高圧 CO2環境下でステンレス鋼 容器内に生じる反応生成物の分析から開始し た。本発表では、これまでに得られた結果と今 後の計画について報告する。

2. 実験内容

図 1 に装置概略図を示す。真空置換型グローブボックス内に設置したステンレス鋼(SS304)製の直管(外径 42.7mm, 厚み 3.6mm, 長さ350mm, 内容積約 346 cm³)に CO_2 ガスを導入して密封し、電気炉を用いて昇温することで超臨界 CO_2 (超臨界条件:温度 31.1 $^{\circ}$ $^{\circ$

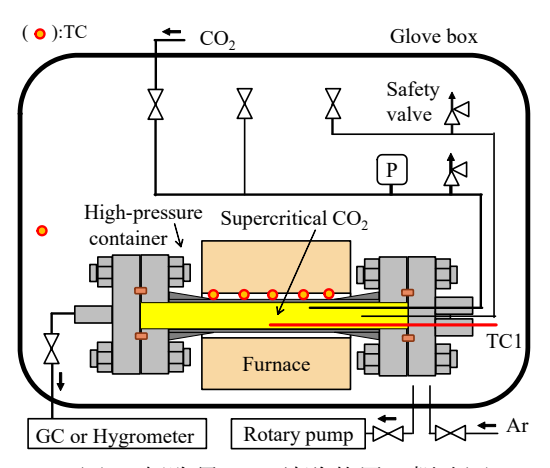


図 1 超臨界 CO₂ 試験装置の概略図

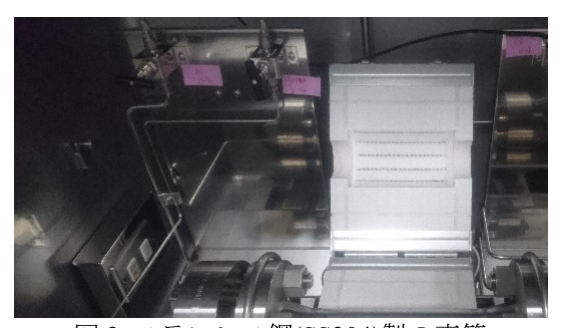


図 2 ステンレス鋼(SS304)製の直管



図3 超臨界 CO₂試験装置の写真

本実験では4回の加熱実験を行った。高圧容器に CO_2 ガスを封入し、250℃から 450℃まで50℃ずつ段階的に昇温し、各温度で 30 分および 90 分保持した後、ガスの一部を排出して、ガスクロマトグラフ(1,2 回目)あるいは水分計(3,4 回目)で気相成分を分析した。1,3 回目の実験では適宜ガスを排出することで超臨界圧以下となるように調整し、2,4 回目ではできるだけガスを排出せず、臨界圧以上を維持した。図 4 に 2 回目の実験における CO_2 温度、 CO_2 圧力及びステンレス鋼容器外壁温度を示す。

3. 結果及び考察

350℃以上では、高圧容器から排出されたCO₂ 中にCO、H₂、CH₄が検出された。3成分につい て、実験1回目、2回目とも、30分後よりも90 分後の濃度が高く、これはCO、H₂、CH₄の生成 反応が平衡に達していないことを示す。図5、6、 7に90分保持後のCO、H₂、CH₄濃度を温度に対 してプロットする。3成分とも温度の上昇とと もに濃度も上昇する傾向が見られた。また、実 験1回目に対して実験2回目の濃度が格段に低 いことがわかった。実験3,4回目の水分計によ る分析では、水分濃度は20~30 ppm程度で温度、 圧力による変化はみられなかった。そのため、 反応生成物の形成には、不純物水蒸気は寄与し ていないと言える。CO2とCOの熱力学的平衡状 態では、観測されたCO濃度よりも高い濃度とな ることから、2回目の実験でCO濃度が低下した のは、高圧容器表面でのCO生成反応速度が低下 したためと考えられる。H₂は高圧容器ステンレ ス鋼に溶存していた水素の加熱による脱離、 CH₄はCO形成に伴い生じた炭素と脱離水素と の反応によると考えている。

今のところ、次のような反応生成物発生モデルを提案している。SS304と CO_2 ガスとの界面において、Feと CO_2 の反応により、酸化層(Fe_3O_4)が形成されるとともにCOやCが生じる。SS304中には溶解水素Hが存在していることから、加熱により H_2 が気相中へ放出される。 H_2 の一部は、上記の反応で発生したCと結合し、 CH_4 が生じる。E験1で酸化層が形成されるとE中の表面への移動抵抗となり、酸化層の成長速度が低下し、E0とE1の生成速度も低下する。これによりE1の生成速度も低下する。今後、金属試料を高温高圧E1の公式と暴露し、金属表面分析を実施してモデルの妥当性を検証する。

参考文献

- [1] A. Sagara et al., Fusion Sci. Technol., 68 (2015) 303-307.
- [2] S. Ishiyama et al., Fusion Sci. Technol., 75 (2019) 862-872.

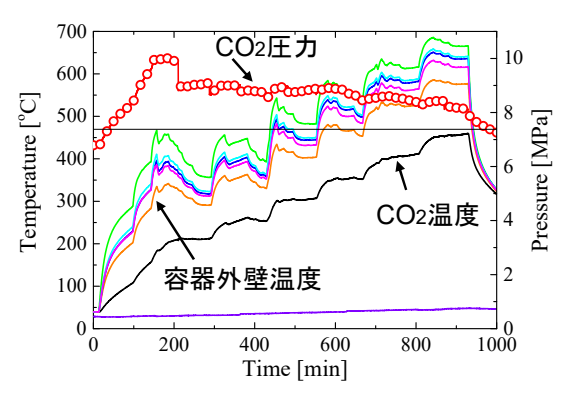


図 4 超臨界 CO2 条件 (7.38MPa 以上)

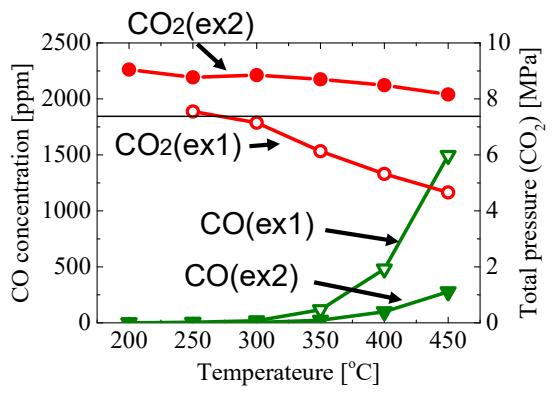


図5 実験1と2でのCO濃度変化の比較

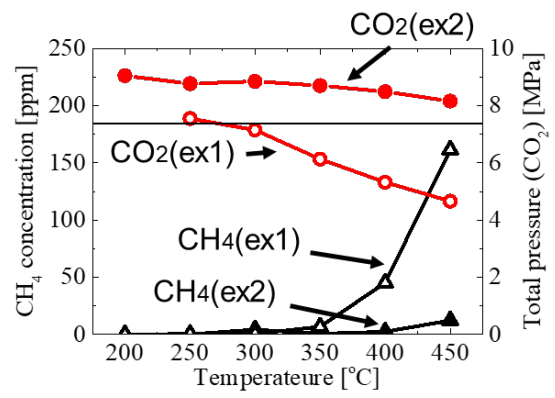


図6 実験1と2でのCH4濃度変化の比較

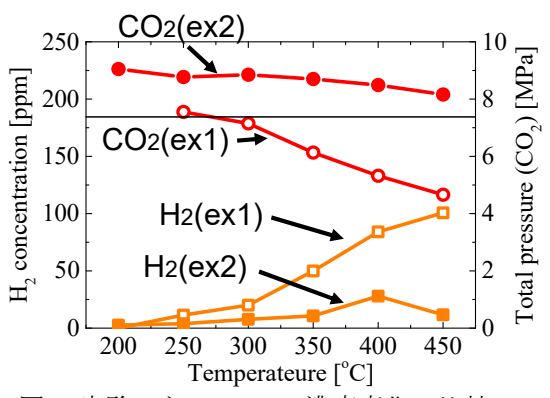


図7 実験1と2でのH2濃度変化の比較

謝辞 本研究は核融合科学研究所LHD計画共同研究 (NIFS17KOBF037) の支援のもとに実施された。